



# Estructura de RNA

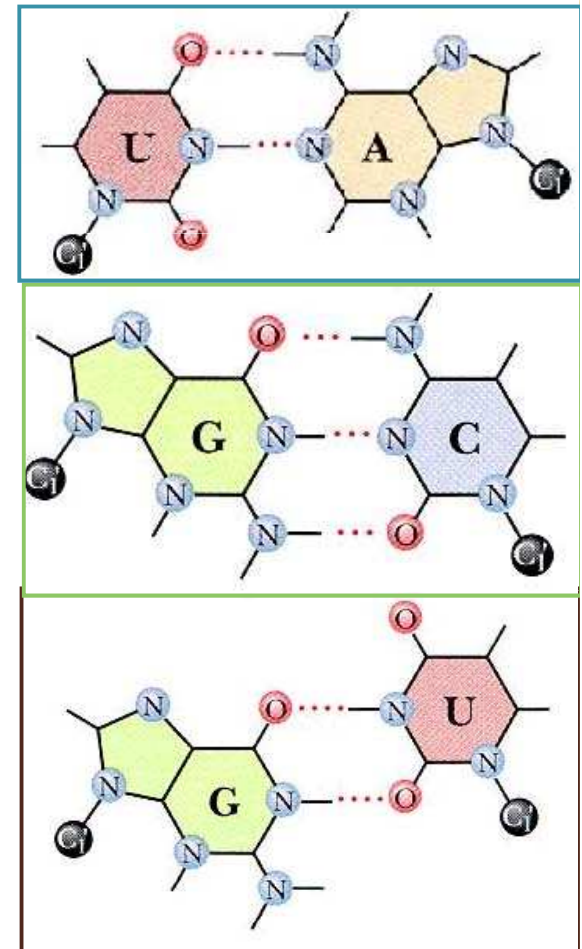
Darío Canales

Ignacio Salas

Oscar Yañez

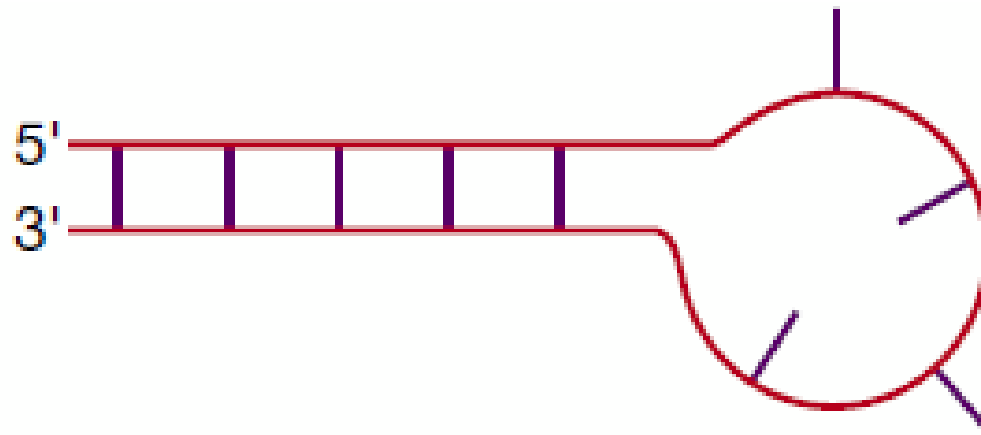
# RNA

- Está presente tanto en las células procariotas como en las eucariotas.
- Pares de bases canónicas
  - A/U
  - G/C
  - G/U (par inestable)
- Algunas funciones:
  - Dirige la parte intermedia de la síntesis de proteínas
  - Catálisis
  - Regulan la expresión genética



# Estructura secundaria del RNA

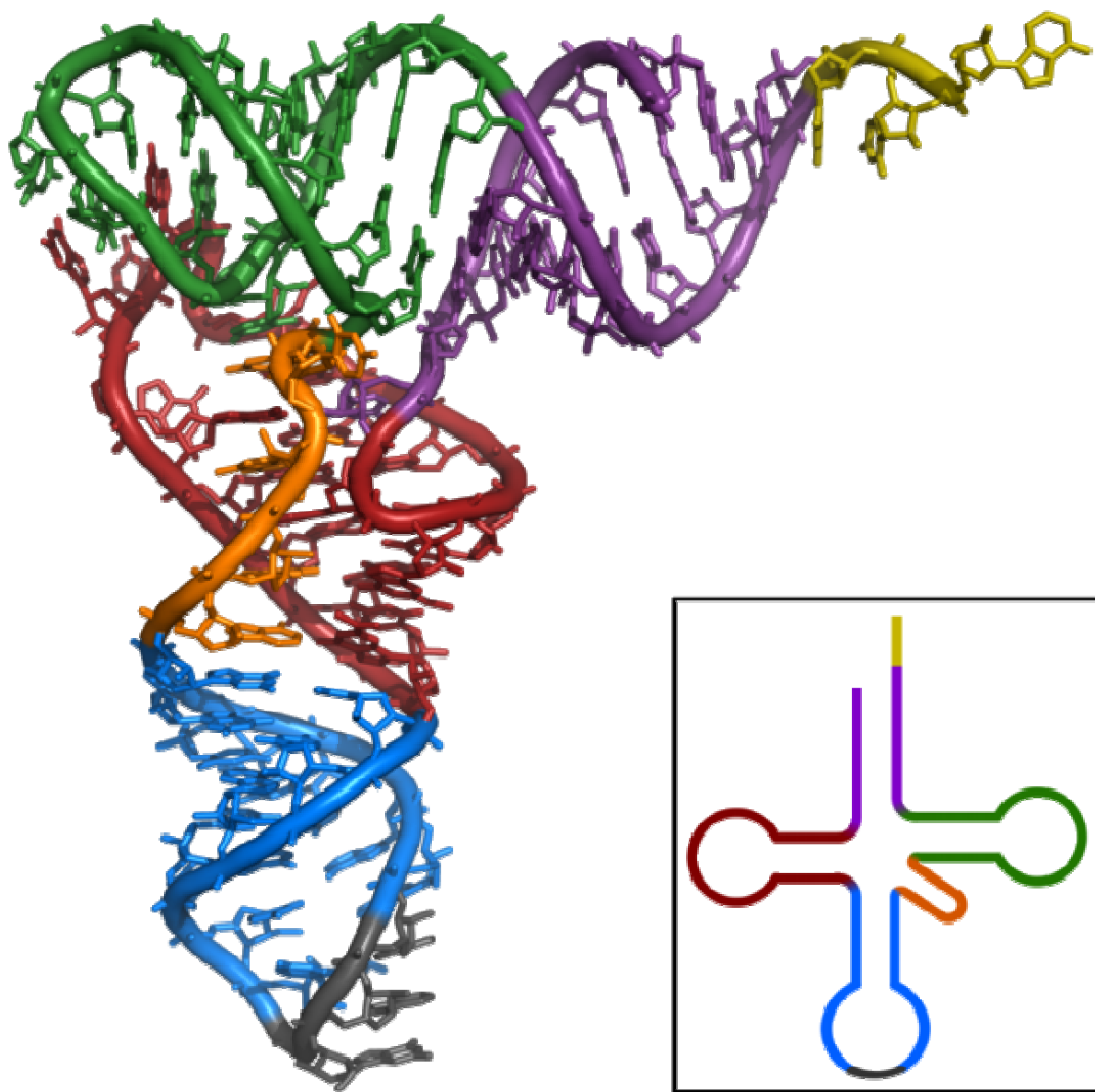
- Se puede ver como un paso intermedio hacia una estructura en 3D
- Doble cadena de RNA formada por el plegamiento de una molécula simple





# Estructura terciaria del RNA

- Hace referencia a la organización que tienen los elementos de la estructura secundaria en el espacio.
- Es el resultado del apilamiento de bases y de los enlaces por puente de hidrógeno entre diferentes partes de la molécula.



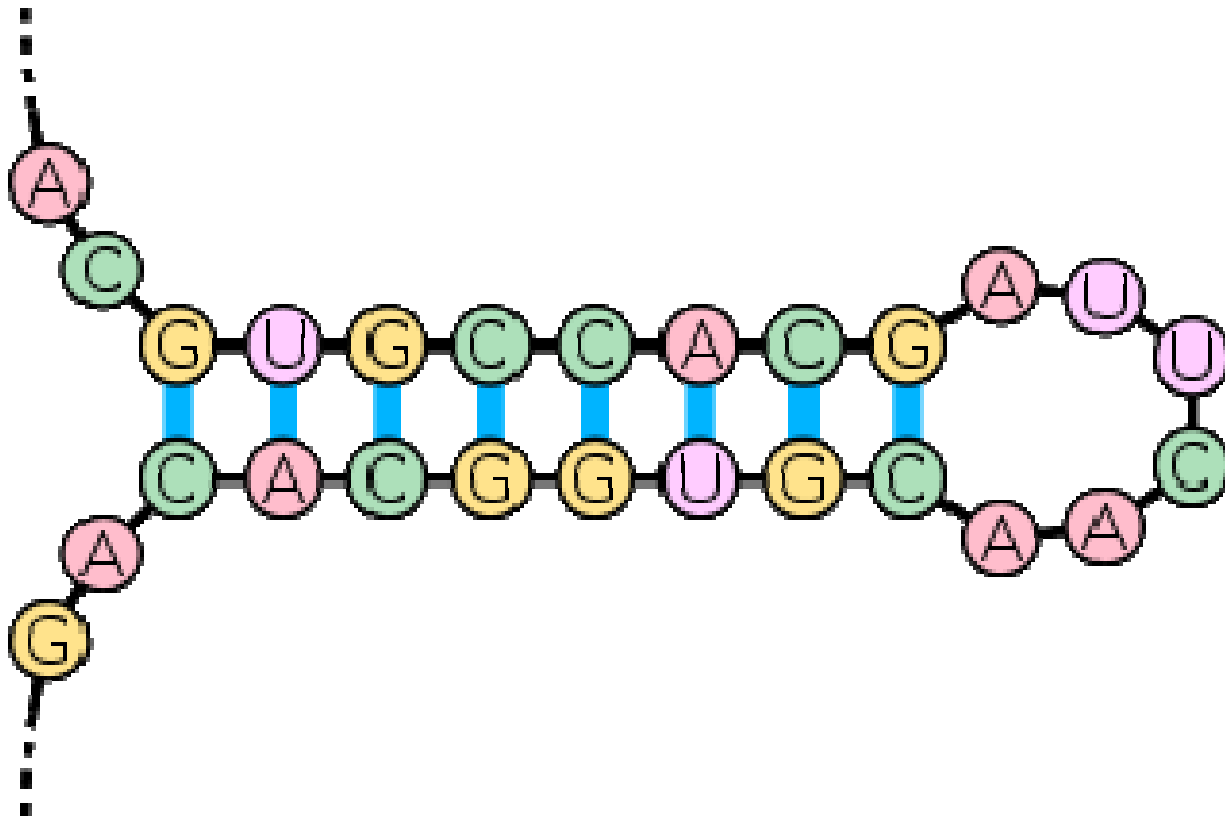


# Predicción de la estructura del RNA

- El modelado de la estructura de RNA en 2D sirve para la construcción de bases de datos de moléculas de RNA
  - Formas similares, roles similares
- Muchos métodos usan programación dinámica
- La molécula se pliega sobre si misma

# Predicción de la estructura de RNA

- Se buscan palíndromos
- Estructuras energéticamente estables



# Algoritmo de Nussinov

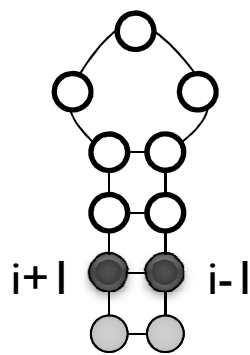
## Objetivo

Hallar la estructura secundaria que maximice el número de bases apareadas.

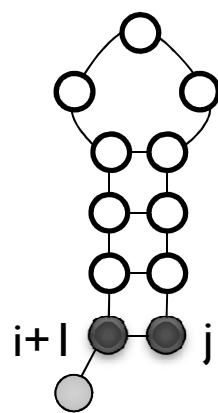
## Algoritmo Recursivo

Encuentra la mejor estructura para los inputs  $i, j$  intentando una de las siguientes 4 posibilidades:

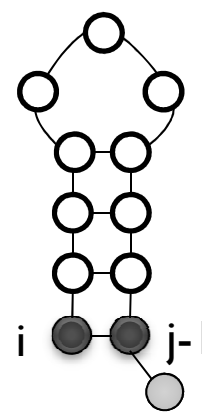
- Agregar el par  $i, j$  sobre la mejor estructura  $i+1, j-1$
- Agregar  $i$  sin aparear a la mejor estructura  $i+1, j$
- Agregar  $j$  sin aparear a la mejor estructura  $i, j-1$
- Combinar las dos estructuras óptimas  $i, k$  y  $k+1, j$



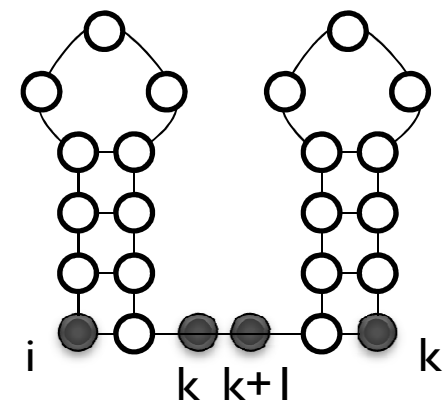
par  $i, j$



$i$  no apareada



$j$  no apareada



bifurcación



# Algoritmo de Nussinov

Sea  $S$  una secuencia de RNA de tamaño  $L$ .

Se define una matriz  $\gamma_{L \times L}$  de folding correspondiente a la secuencia  $S$ .

Se establece una función  $\delta(x_i, x_j) = 1$ , si  $x_i$  y  $x_j$  se pueden aparear y  $\delta(x_i, x_j) = 0$ , en caso contrario.

## Inicialización:

$$\gamma(i, i-1) = 0, \quad i = 2 \dots L$$

$$\gamma(i, i) = 0, \quad i = 1 \dots L$$

## Llenado:

For  $i = 1 \dots L-1, j = i+1 \dots L$

$$\gamma(i, j) = \max \left\{ \begin{array}{l} \gamma(i+1, j) \\ \gamma(i, j-1) \\ \gamma(i+1, j-1) + \delta(x_i, x_j) \\ \max_{i < k < j} [\gamma(i, k) + \gamma(k+1, j)] \end{array} \right.$$

# Traceback

**Inicialización:** Push (I,L) en el stack

**Recursión:** Repetir hasta que el stack este vacío

```
pop(i,j)
if i > j continuar
else if  $\gamma(i+1, j) = \gamma(i, j)$  push (i+1, j)
else if  $\gamma(i, j-1) = \gamma(i, j)$  push (i, j-1)
else if  $\gamma(i+1, j-1) + \delta_{ij} = \gamma(i, j)$ :
    registrar i, j como apareamiento
    push (i+1, j-1)
else for k= i+1 to j-1: if  $\gamma(i, k) + \gamma(k+1, j) = \gamma(i, j)$ :
    push (k+1, j)
    push (i, k)
    break
```

# Ejemplo

Inicialización:

$$\begin{aligned} \gamma(i, i-1) &= 0, & i &= 2..L \\ \gamma(i, i) &= 0, & i &= 1..L \end{aligned}$$

$i \rightarrow$

|                |          |          |          |          |          |          |          |          |          |
|----------------|----------|----------|----------|----------|----------|----------|----------|----------|----------|
|                | <b>G</b> | <b>G</b> | <b>G</b> | <b>A</b> | <b>A</b> | <b>A</b> | <b>U</b> | <b>C</b> | <b>C</b> |
| $j \downarrow$ | <b>G</b> | 0        |          |          |          |          |          |          |          |
|                | <b>G</b> | 0        | 0        |          |          |          |          |          |          |
|                | <b>G</b> |          | 0        | 0        |          |          |          |          |          |
|                | <b>A</b> |          |          | 0        | 0        |          |          |          |          |
|                | <b>A</b> |          |          |          | 0        | 0        |          |          |          |
|                | <b>A</b> |          |          |          |          | 0        | 0        |          |          |
|                | <b>U</b> |          |          |          |          |          | 0        | 0        |          |
|                | <b>C</b> |          |          |          |          |          |          | 0        | 0        |
|                | <b>C</b> |          |          |          |          |          |          |          | 0        |



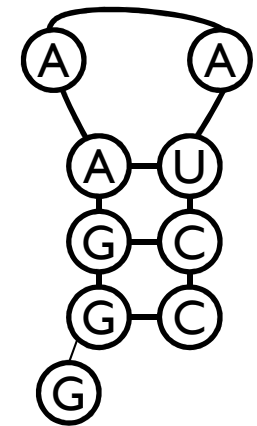
# Ejemplo

Traceback:

```

pop(i,j)
if i > j continuar
else if  $\gamma(i+1, j) = \gamma(i, j)$  push (i+1, j)
else if  $\gamma(i, j-1) = \gamma(i, j)$  push (i, j-1)
else if  $\gamma(i+1, j-1) + \delta_{ij} = \gamma(i, j)$ :
    registrar i, j como apareamiento
    push (i+1, j-1)
else for k = i+1 to j-1: if  $\gamma(i, k) + \gamma(k+1, j) = \gamma(i, j)$ :
    push (k+1, j)
    push (i, k); break
    
```

|   | i → |   |   |   |   |   |   |   |   |  |
|---|-----|---|---|---|---|---|---|---|---|--|
|   | G   | G | G | A | A | A | U | C | C |  |
| G | 0   | 0 | 0 | 0 | 0 | 0 | 1 | 2 | 3 |  |
| G | 0   | 0 | 0 | 0 | 0 | 0 | 1 | 2 | 3 |  |
| G |     | 0 | 0 | 0 | 0 | 0 | 1 | 2 | 2 |  |
| A |     |   | 0 | 0 | 0 | 0 | 1 | 1 | 1 |  |
| A |     |   |   | 0 | 0 | 0 | 1 | 1 | 1 |  |
| A |     |   |   |   | 0 | 0 | 1 | 1 | 1 |  |
| U |     |   |   |   |   | 0 | 0 | 0 | 0 |  |
| C |     |   |   |   |   |   | 0 | 0 | 0 |  |
| C |     |   |   |   |   |   |   | 0 | 0 |  |



# Desventajas de Nussinov

- Este método asume que la mejor estructura es la que contiene una mayor cantidad de bases apareadas.
- No necesariamente entrega la estructura más estable.
- Hay muchas combinaciones posibles de apareamiento, pero Nussinov detecta generalmente sólo una variante.
- No se considera apilamiento de bases apareadas => Diferencias en estructura y estabilidad de hélices.
- No se considera tamaño de loops internos.

# Solución: Minimizar energía libre

- Por Ley de la termodinámica, sólo una estructura secundaria es estable, normalmente, la que optimice la energía libre.
- Energía libre

$$G = H - TS$$

**G:** Energía Libre

**H:** Entalpía (energía que puede generar trabajo)

**T:** Temperatura Absoluta (Kelvin)

**S:** Entropía (medida de desorden)

- **Entalpía:** por apareamiento de bases
- **Entropía:** desorden en regiones no apareadas

# Solución: Minimizar energía libre

- Usualmente, se mide la diferencia

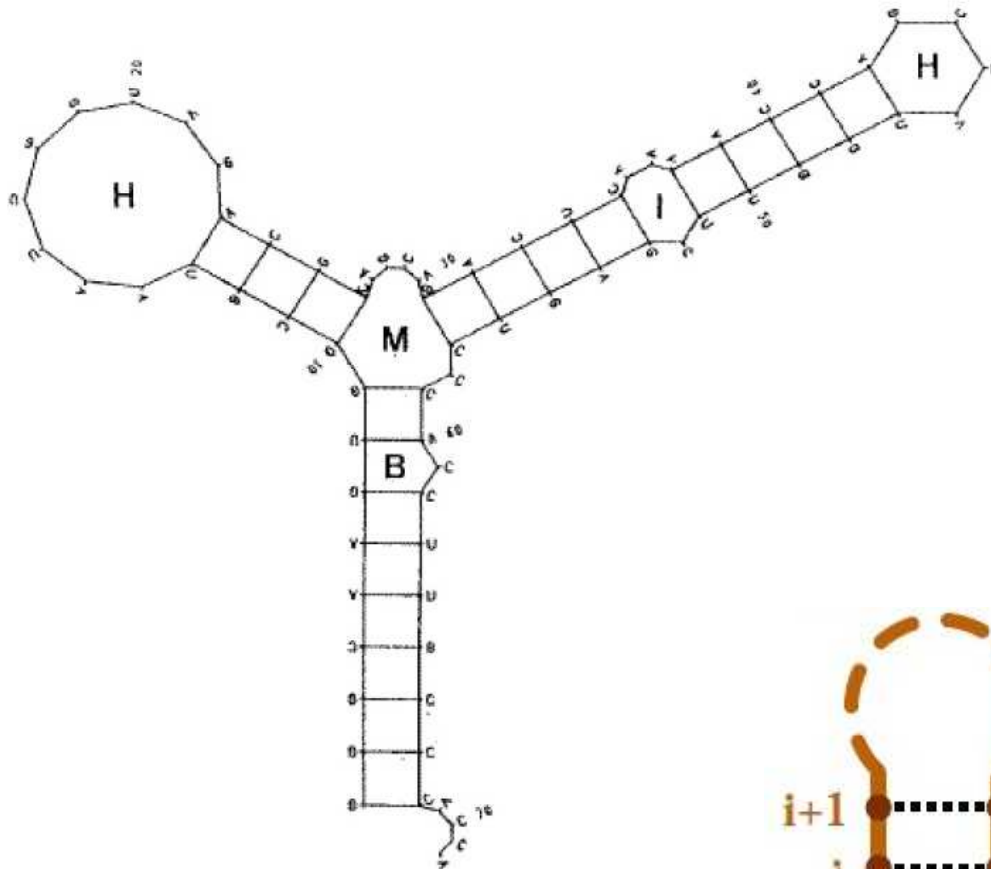
$$\Delta G = \Delta H - T\Delta S$$

- Lo que se mide → energía en loops, stacks y otros elementos de estructura secundaria más pequeños
- Energía libre total = sumatoria

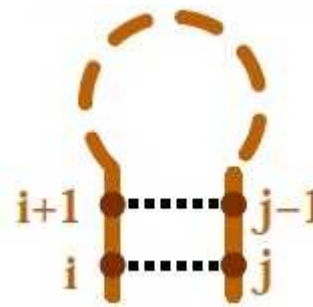


# Algoritmo de Zuker: Definiciones

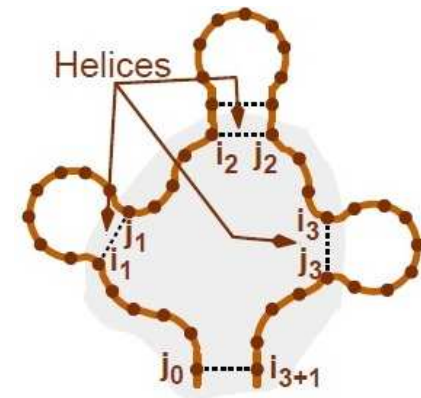
## Tipos de ciclos



- H - Hairpin Loop
- I – Interior Loop
- B – Bulge
- M – Multiple Loop o Multiloop



Stacking



Multiloop

# Algoritmo de Zuker: Definiciones

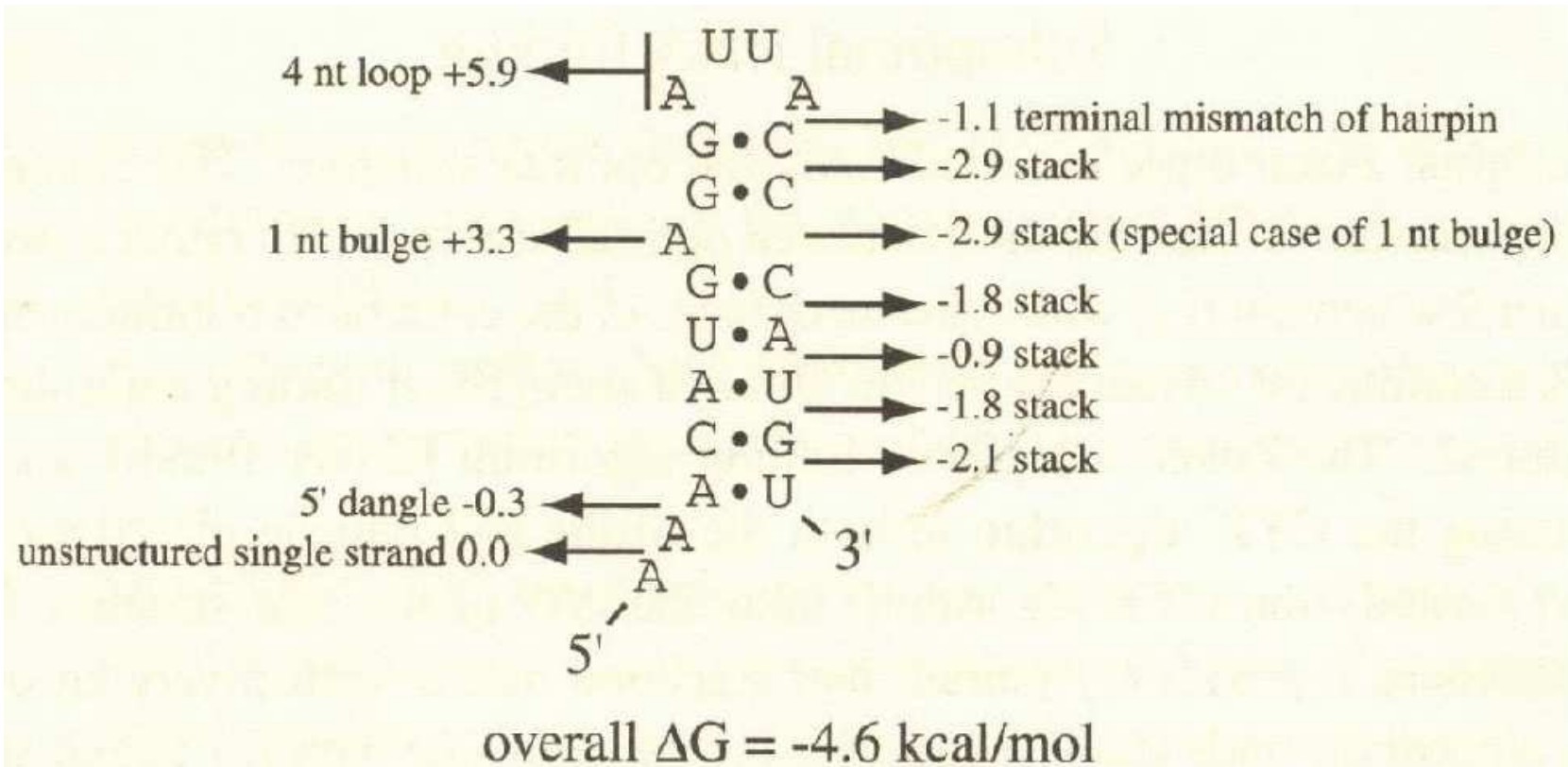
## Contribuciones de energía

- Cada tipo de estructura (ciclo) tiene una contribución de energía diferente.

|                                  |   |
|----------------------------------|---|
| hairpin loop $(i, j)$ :          | $eH(i, j)$                                    |
| stacking $(i, j)$ :              | $eS(i, j, i + 1, j - 1)$                      |
| internal loop $(i, j, i', j')$ : | $eL(i, j, i', j')$                            |
| multiloop:                       | $eM(j_0, i_1, j_1, \dots, i_k, j_k, i_{k+1})$ |

- El cálculo de la contribución del multiloop es muy costoso.
- Se usa una versión simplificada de la contribución, que considera *contribución del cierre del loop*, número de hélices y número de bases no apareadas dentro del loop.

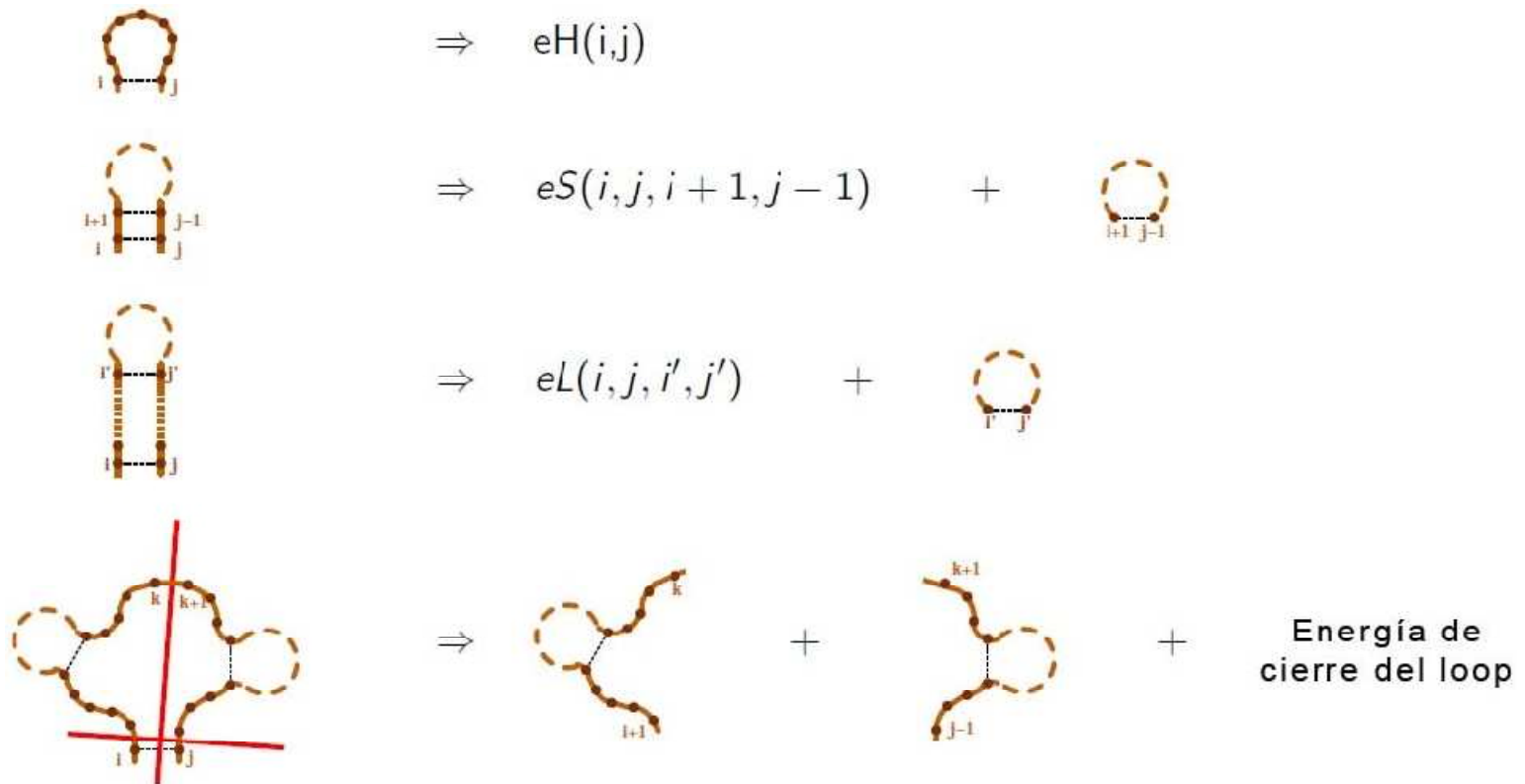
# Ejemplo





# Problema de minimización de energía libre de Zuker

Se determina la energía asociada dividiendo la estructura resultante.



# Matriz W

$$W(i, j) = \min \left\{ \begin{array}{l} W(i + 1, j) \\ W(i, j - 1) \\ V(i, j) \\ \min_{i < k < j} [W(i, k) + W(k + 1, j)] \end{array} \right\}$$

- $W(i + 1, j)$  y  $W(i, j - 1)$  cuando  $i$  y  $j$  no están pareados
- $V(i, j)$  cuando  $i$  y  $j$  están pareados
- El último, están pareados pero no necesariamente entre si

# Matriz V

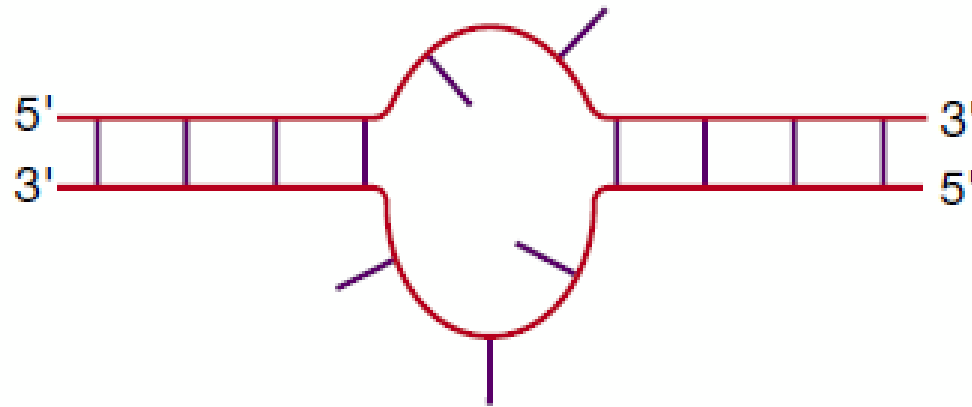
$$V(i, j) = \min \left\{ \begin{array}{l} eh(i, j) \\ es(i, j) + V(i + 1, j - 1) \\ VBI(i, j) \\ VM(i, j) \end{array} \right\}$$

- eh: energía de la horquilla
- es: energía del stack
- VBI: energía del bucle interno
- VM: energía del multiloop

# Matriz VBI

$$VBI(i, j) = \min_{i < i' < j' < j / i' - i + j - j' > 2} [ebi(i, j, i', j') + V(i', j')]$$

- Se ven todas las combinaciones que pueden producir un bucle interno para un  $i'$  y  $j'$  que este entre  $i$  y  $j$

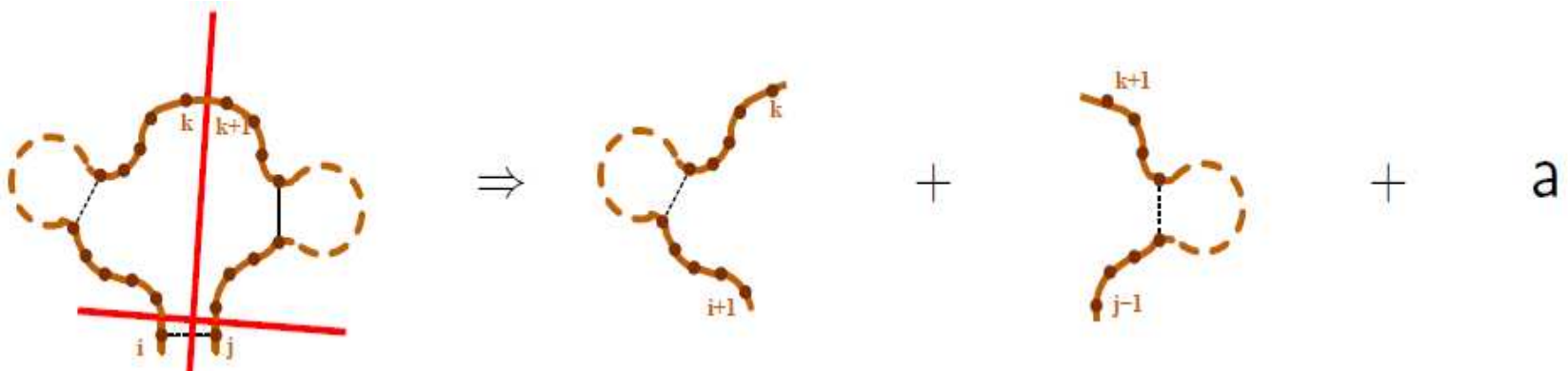




# Matriz VM

$$VM(i, j) = \min_{i < k < j-1} [W(i+1, k) + W(k+1, j-1)] + a$$

- Se ven las diferentes formas de separar un multiloop en dos partes, agregando un valor “a” de cierre del loop



# Algoritmo de Zuker

- El tiempo de Zuker esta en  $O(n^4)$
- Si se quisiera hacer con estructuras terciarias, sería un problema de programación dinámica multidimensional y con 3 matrices
  - Impracticable
- El traceback es como Nussinov

# Tarea

- ¿Que significa que los métodos de predicción de estructuras de RNA busquen palíndromos, como la minimización de energía libre afecta estos resultados?
- Enviar a [personaje.ts@gmail.com](mailto:personaje.ts@gmail.com)